

京都大学大学院 学生員 宇治 貞弘
 京都大学工学部 正員 松岡 譲
 京都大学工学部 正員 住友 恒

1. はじめに

フロックの凝集・破壊に関する研究においてはフロック径を測定することが必須である。これには写真撮影による方法、沉降速度の測定による方法などが考えられるが、連続して測定するには非常に困難である。本研究では、フロックのようす粒状物質を含んだ水質を光電式濃度計を用いて測定したときの濃度変動特性に注目し、濃度のデータからフロック径を測定することを試みたものである。

2. 実験結果および理論的考察

実験は Fig-1 に示したようすデルタ関数に近い分布の5種の粒子を用いて行ない、各粒子を所定量含んだ水をビーカ内で攪拌し、濃度を光電式濃度計で測定した。その結果を $(\bar{C}^2 / \bar{C})^{1/2}$ と (d_p / l_e) に対してプロットしたもののが Fig-2 である。(0.625 KHz, 5000データ) ここで d_p は粒径、 l_e は光電式濃度計の光路長である。この図で $(\bar{C}^2 / \bar{C})^{1/2}$ と (d_p / l_e) の間に相関がみられ、 \bar{C}^2 / \bar{C} を測定することにより粒径を推定することができるといえる。

2-1.

\bar{C}^2 / \bar{C} と粒径 d_p との関係は二直分布の考え方で説明できる。観測空間 V_e 中に粒子が n 個入る確率 $P(n)$ は、水質が V に存在する空間を V 、 V 中の粒子数を N 、粒子の代表体積を \tilde{V}_p 、 V_e 中に入り得る粒子の最大個数を n_{max} とすると次のようにあらわせる。

$$P(n) = n_{max} C_n (N \tilde{V}_p / V)^n (1 - N \tilde{V}_p / V)^{n_{max}-n} \quad (1)$$

したがって次式が得られる。

$$\frac{\bar{C}^2}{\bar{C}} = \frac{\tilde{V}_p}{V_e} (1 - \bar{C}) \approx \frac{\tilde{V}_p}{V_e} \quad (\bar{C} \ll 1 \text{ のとき}) \quad (2)$$

$$\therefore (\bar{C}^2 / \bar{C})^{1/2} \sim \tilde{d}_p \quad (\tilde{d}_p: \text{代表粒径}) \quad (3)$$

Fig-2 で傾きがよりやや小さいのはつきのように説明できる。粒子を含む水質では、ランバートベーリ則が成りたちにくく透過光強度は粒子体積よりも粒子断面積に関係しているのではないかと考えられるので次式のように書くことができる。

$$I = F(d_p^2 \cdot n) \quad I: \text{透過光強度}$$

よって式(1)を使つてつきの関係式を得る。

$$\frac{F^{-1}(I)^2 - F^{-1}(I_0)^2}{F^{-1}(I)} \approx d_p^2 \quad (4)$$

$$\therefore \bar{C}^2 / \bar{C} \sim d_p^2 \quad (5)$$

2-2

次に粒子が分布をもつている場合について考えてみる。

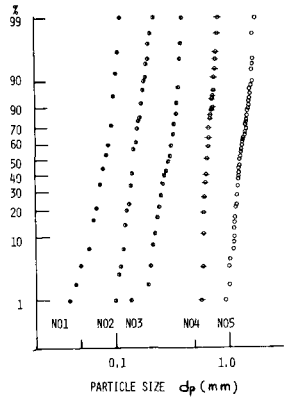
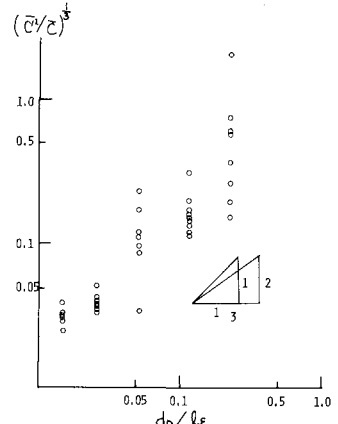


FIG-1 PARTICLE SIZE DISTRIBUTION

FIG-2 $(\bar{C}^2 / \bar{C})^{1/2}$ versus d_p / l_e

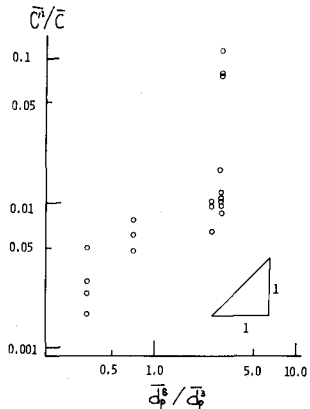


Fig-3 \bar{C}/\bar{C} versus \bar{d}_p/\bar{d}_p

分布度数関数を $f(d_p)$ とおき、 $\gamma = d_p/\bar{d}_p$, $f(d_p) = f_i(\gamma)$ とすると次式を得る。

$$\frac{\bar{C}^2}{C} = \frac{\pi \bar{d}_p^3}{V_e} \cdot \int_0^\infty \gamma^6 f_i(\gamma) d\gamma / \int_0^\infty \gamma^3 f_i(\gamma) d\gamma = \frac{\pi}{V_e} \cdot \frac{\bar{d}_p^4}{\bar{d}_p^3} \quad (6)$$

$$\therefore \frac{\bar{C}^2}{C} \sim \frac{\bar{d}_p^4}{\bar{d}_p^3} \sim \frac{\bar{V}_p^2}{V_e} \quad (7)$$

Fig-1 の No.3, 4, 5 の粒子で \bar{d}_p が一定に保つように所定量混合して、分布をもたせた場合の \bar{C}^2/C と \bar{d}_p/\bar{d}_p^3 の関係を Fig-3 に示す。この図から、分布をもつてはいる場合式(7)に示すように、 \bar{C}^2/C を測定することにより \bar{d}_p/\bar{d}_p^3 (あるいは \bar{V}_p^2/V_e) を推定できるようであることがわかる。

2-3

Fig-4, 5, 6 の流速、濃度、Sampling 周波数と $(\bar{C}^2/C)^{1/3}$ の関係を図示したものである。式(3)あるいは式(5)の表現が正しいとすれば $(\bar{C}^2/C)^{1/3}$ は流速、濃度には依存せず粒径のみに関係するはずであり、Fig-4, 5 はこのことを示しているようである。流速について Sampling 周波数、Sampling 時間に関係しているであろうし、Fig-6 に示したよりさらに低流速の場合にどうなるかは本実験では不明であった。

2-4

2-2 の考えにもとづいてフロックの場合について $(\bar{C}^2/C)^{1/3}$ と $(\bar{d}_p/\bar{d}_p^3)/l_e$ の関係を示したのが Fig-7 である。ここで○印は活性汚泥フロック、●印は琵琶湖深水の水にカオリイン 100 ppm, Na_2CO_3 10 ppm, 鹽酸第二鉄 20 ppm 加えてできたフロックにおける測定結果である。この図から式(7)の方法でフロック径を測定できることがわかった。

3. おわりに

本研究では、粒状物質を含んだ水質濃度を測定することにより粒径を測定する方法を明らかにした。フロック径の測定への適用は、フロックの性質のちがい、検定方法などにまだ問題があるがこれらについては今後研究を進めていきたいと考えている。

〈参考文献〉 (1) 松岡 譲; 京都大学修士論文 (1975)

(2) 宇治直宏; 京都大学卒業論文 (1976)

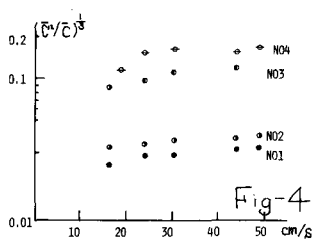


Fig-4

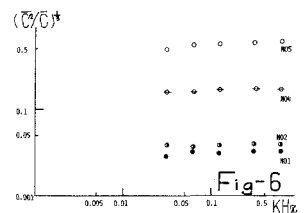


Fig-6

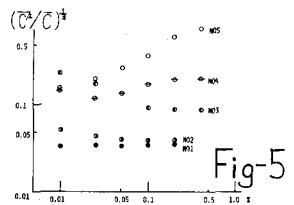


Fig-5

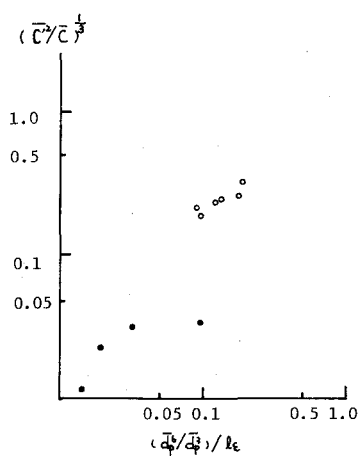


Fig-7 $(\bar{C}/\bar{C})^{1/3}$ versus $(\bar{d}_p/\bar{d}_p^3)/l_e$